

В.П. Аксенов, В.А. Банах, О.В. Тихомирова

ВИЗУАЛИЗАЦИЯ ДИСЛОКАЦИЙ ВОЛНОВОГО ФРОНТА ОПТИЧЕСКИХ СПЕКЛ-ПОЛЕЙ

Анализируются возможности неинтерферометрических способов измерения распределения фазы в поперечном сечении лазерного пучка для визуализации винтовых дислокаций волнового фронта оптических спекл-полей. Установлено, что дифракционный датчик Гартмана и датчик волнового фронта, основанный на измерении интенсивности в поперечном сечении пучка, позволяют зарегистрировать положения центров дислокаций и восстановить пространственную конфигурацию нуль-линий интенсивности.

Распространение света через хаотически неоднородную среду приводит к тому, что в результате интерференции амплитуда и фаза оптического поля претерпевают случайные искажения, а пространственное распределение интенсивности имеет случайную пятнистую структуру. Изучение таких спекл-полей необходимо при решении задач адаптивной оптики, звездной спекл-интерферометрии, реконструкции изображений. Замечательная особенность спекл-полей – существование дислокаций, т.е. областей, где фаза оптической волны становится неопределенной, а интенсивность – исчезающе малой. Дислокации могут существовать в свободном пространстве и полностью определять фазовую структуру поля [1]. Волновой фронт в окрестности точки дислокации представляет собой геликоид с осью вдоль линии нуля амплитуды (рис. 1).

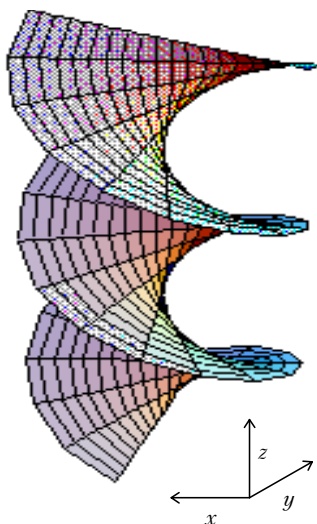


Рис. 1. Волновой фронт в окрестности дислокации

Наиболее распространенный путь экспериментального изучения дислокаций заключается в интерферометрическом или голографическом [2, 3] исследовании оптических спекл-полей. Дефекты волнового фронта проявляются на интерферограммах возникновением «вилочек» – ветвлением интерференционных полос. Точки ветвления совпадают с нулями интенсивности, которые на фоне хаотической пятнистой структуры невозможно отличить от ненулевых локальных минимумов интенсивности. Тем более наличие изолированного нуля интенсивности не является достаточным условием существования винтовой дислокации в данной точке. В качестве примера можно привести интенсивность волнового поля, являющегося разностью полей соосных гауссовых пучков.

Интерференционные методы диагностики волновых полей [2, 3] достаточно сложны в реализации и не всегда применимы для практических измерений, поэтому представляется ин-

интересным рассмотреть способы диагностики дислокаций волнового фронта на основе измерения распределения интенсивности $I(\rho, z)$ в поперечном сечении пучка $\rho \{x, y\}$ и сравнить их возможности с результатами, которые могут быть получены с помощью дифракционных датчиков волнового фронта, например датчика Гартмана [4].

В качестве тестового объекта выбрано поле лаггерр-гауссова оптического пучка, фазовый фронт которого обладает всеми характерными свойствами волновых фронтов оптических спекл-полей. Известно [5], что медленно меняющаяся амплитуда такого поля, возбуждаемого резонатором со сферическими зеркалами, записывается в виде

$$U(r, \varphi) = \sum_{m,n} g_{mn \pm} A_{mn \pm}(r, \varphi); \quad (1)$$

$$A_{mn \pm}(r, \varphi) = \sqrt{\frac{4r^2 m!}{\pi (m+1)!}} L_m^n(2r^2) \exp \{-r^2 \pm i n \varphi\},$$

где m и n – радиальный и азимутальный индексы мод; $r = \sqrt{x'^2 + y'^2}$ и $\varphi = \arctg(y'/x')$ – полярные координаты, x' и y' – декартовы координаты, нормированные на эффективный радиус пучка a ; $g_{mn \pm}$ – комплексные амплитуды мод; L_m^n – полиномы Лагерра. Важное свойство лаггерр-гауссовых мод состоит в том [5, 6], что в случае их вырождения частота излучения лазера определяется сочетанием индексов поперечных мод $l = 2m + n$. Например, при $l = 1$ возбуждаются 2 моды, и в стационарном состоянии начальное поле имеет одну дислокацию на оси пучка, при $l = 2$ возбуждаются 3 моды [5]:

$$\begin{aligned} A_{10} &= \sqrt{2/\pi} (1 - 2r^2) \exp \{-r^2\}; \\ A_{021} &= \sqrt{2/\pi} 2r^2 \exp \{-r^2 + 2i\varphi\}; \\ A_{022} &= \sqrt{2/\pi} 2r^2 \exp \{-r^2 - 2i\varphi\}; \\ U(r, \varphi, 0) &= A_{10}(r, \varphi) g_1 + A_{021}(r, \varphi) g_2 + A_{022}(r, \varphi) g_3. \end{aligned} \quad (2)$$

На расстоянии z от источника поле после подстановки (2) в интеграл Кирхгофа имеет вид

$$U(x, y, z) = \Omega (1 + \Omega^2)^{-3/2} \exp \{3i \arctg \Omega + \frac{\Omega}{2} \frac{x^2 + y^2}{(1 + \Omega^2)} (i - \Omega)\} g; \quad (3)$$

$$g = \{3i + 2\Omega + i\Omega^2 [1 - 2(x^2 + y^2)]\} g_1 + i\Omega^2 \sqrt{2} \{[g_2(x - iy)^2 + g_3(x + iy)^2]\},$$

где $\Omega = ka^2/z$ – дифракционный параметр; k – волновое число. Число дислокаций в поперечном сечении пучка зависит [5] от соотношения между амплитудами мод g_1, g_2 и g_3 . Распределения интенсивности и фазы поля в плоскости $\Omega = 1$ в случае возникновения четырех дислокаций волнового фронта ($g_1 = 1 + i, g_2 = -g_3 = g_1/\sqrt{2}$) показаны на рис. 2.

Дислокационные искажения фазы ограничивают эффективность исправления или обращения волнового фронта с помощью изгибаемых зеркал, так как поверхность зеркала невозможно превратить в поверхность с винтовой дислокацией, не нарушая условия непрерывности. Поэтому возникает задача получения сглаженной аппроксимации волнового фронта.

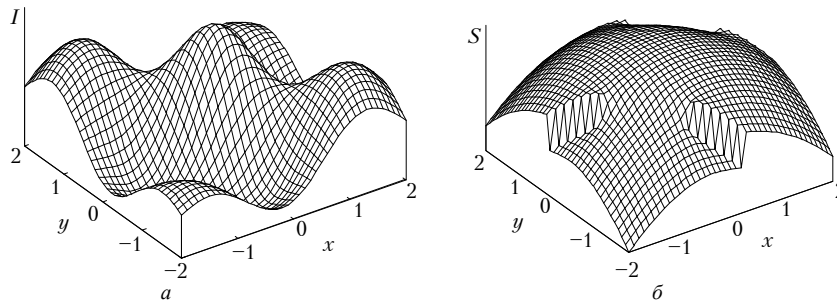


Рис. 2. Распределение интенсивности (а) и фазы (б) в поперечном сечении пучка

В качестве такой аппроксимации в [7] было предложено использовать потенциальную фазу

$$S_p(\rho, z) = \frac{k}{4\pi^2} \iint_D \frac{d^2 \rho_0}{I(\rho_0, z)} \frac{\partial}{\partial z} \iint_{-\infty}^{\infty} d^2 \rho'_0 \frac{I(\rho'_0, z) (\rho_0 - \rho'_0) (\rho - \rho_0)}{(\rho_0 - \rho'_0)^2 (\rho - \rho_0)^2}, \quad (4)$$

восстановленную в области входного зрачка D , ограниченного контуром Γ , из потенциальной компоненты вектора Умова–Пойнтинга $L_p(\rho, z) = I(\rho, z) \nabla S_p(\rho, z)$. Полный вектор Умова–Пойнтинга содержит потенциальную L_p и вихревую L_v компоненты:

$$L(\rho, z) = I(\rho, z) \nabla S(\rho, z) = L_p(\rho, z) + L_v(\rho, z). \quad (5)$$

В дифракционных датчиках осуществляется измерение наклонов волнового фронта $\mu(x, y) = \frac{\partial}{\partial x} S(x, y)$, $\nu(x, y) = \frac{\partial}{\partial y} S(x, y)$, и далее выполняется восстановление фазы, как правило, на основе решения системы линейных уравнений. В этом случае, как указывается в [8, 9], задача нахождения фазы становится эквивалентной решению уравнения Пуассона

$$\Delta_{\perp} S(x, y) = \frac{\partial}{\partial x} \mu(x, y) + \frac{\partial}{\partial y} \nu(x, y) \quad (6)$$

с условием на границе Γ : $S(x, y)|_{\Gamma} = 0$. Очевидно, что если векторное поле градиента фазы $\nabla_{\perp} S(x, y)$ имеет соленоидальную компоненту $\nabla_{\perp} S_s(x, y)$, для которой $\nabla_{\perp} \cdot \{\nabla_{\perp} S_s(x, y)\} = 0$ (для дивергентной компоненты выполняется $\nabla_{\perp} \times \{\nabla_{\perp} S_d(x, y)\} = 0$), то, решая (6), мы будем получать фильтрованные значения фазы – ее дивергентную часть $S_d(x, y)$, соответствующую дивергентной компоненте полного градиента фазы:

$$\nabla_{\perp} S(x, y) = \nabla_{\perp} S_d(x, y) + \nabla_{\perp} S_s(x, y). \quad (7)$$

Особенностью структуры волновых фронтов с дислокациями является именно наличие соленоидальной части, причем, например, для турбулентной атмосферы значение этой части фазы при увеличении интенсивности турбулентности или длины трассы распространения, по-видимому, возрастает. Поэтому традиционные приемы фазовой коррекции, основанные на компенсации $\nabla_{\perp} S_s(x, y)$, для сильных флуктуаций становятся малорезультативными [9].

Расчет дивергентной фазы $S_d(x, y)$ проводился по интегральной формуле Пуассона [10] для случая, когда D – круг радиуса R :

$$S_d(\rho, z) = \iint_D \left[\frac{\partial}{\partial x} \mu(\mathbf{r}, z) + \frac{\partial}{\partial y} \nu(\mathbf{r}, z) \right] G(\mathbf{r}, \rho) d\mathbf{r}; \quad (8)$$

$$G(\mathbf{r}, \rho) = \frac{1}{4\pi} \ln \frac{R^2 + r^2 \rho^2 / R^2 - 2 r \rho \cos(\varphi - \varphi')}{r^2 + \rho^2 - 2 r \rho \cos(\varphi - \varphi')};$$

$$\mathbf{r} \{r \cos \varphi', r \sin \varphi'\}, \quad \boldsymbol{\rho} \{\rho \cos \varphi, \rho \sin \varphi\}.$$

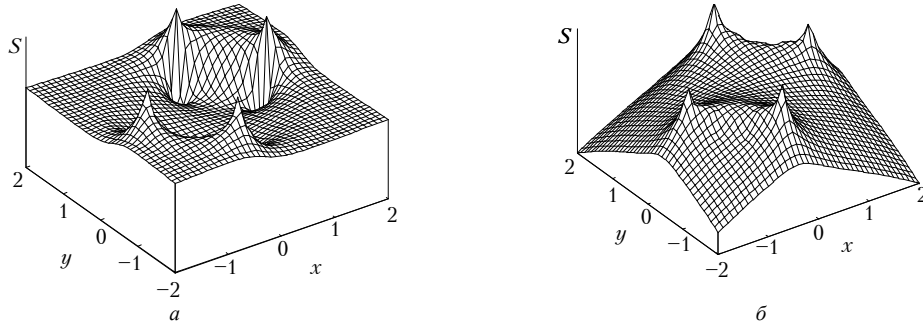


Рис. 3. Потенциальная (а) и дивергентная (б) фазы

На рис. 3,а показана потенциальная фаза пучка, восстановленная по формуле (4) для четырех дислокаций, а на рис. 3,б – дивергентная фаза, рассчитанная с помощью формулы (8). Как в том, так и в другом случае оказывается, что полученные распределения фазы позволяют

установить наличие дислокаций волнового фронта и локализовать их. Но потенциальная фаза восстанавливается из измерений распределения интенсивности в двух поперечных сечениях пучка, а обеспечение измерений локальных наклонов волнового фронта с помощью матрицы Гартмана является технически более сложной задачей [4].

Рассмотрим теперь вопрос о связи потенциальной и вихревой фаз, введенных в [7] и определяемых из потенциальной и вихревой компонент вектора Умова–Пойнтинга, с дивергентной и соленоидальной частями фазы. Очевидно, если сформировать с помощью (7) полный вектор Умова–Пойнтинга

$$L_{\perp}(x, y) = I(x, y) \nabla_{\perp} S(x, y) = I(x, y) \nabla_{\perp} S_e(x, y) + I(x, y) \nabla_{\perp} S_s(x, y), \quad (9)$$

то каждое из слагаемых в правой части (9) в общем случае может быть представлено в виде потенциальной и вихревой частей. Поэтому L_{\perp} и, следовательно, $\nabla_{\perp} S_p(x, y)$ будут иметь составляющие, обусловленные дивергентной и соленоидальной компонентами градиента фазы. Вихревая компонента вектора Умова–Пойнтинга и вихревая часть фазы формируются таким же образом, поэтому в общем случае потенциальная и дивергентная части фазы не совпадают. Они равны лишь при возникновении одной дислокации, когда

$$\nabla_{\perp} I(x, y) \times \nabla_{\perp} S_e(x, y) = 0, \quad \nabla_{\perp} I(x, y) \cdot \nabla_{\perp} S_s(x, y) = 0.$$

Предварительные расчеты волновой aberrации [4] показывают, что использование потенциальной фазы для коррекции фазовых искажений в адаптивных оптических системах, работающих в турбулентной атмосфере, не эффективнее, чем использование дивергентной фазы. Это объясняется тем, что потенциальная фаза включает не всю дивергентную фазу, хотя и содержит часть соленоидальной.

Таким образом, измерения потенциальной и дивергентной фаз позволяют локализовать центры винтовых дислокаций волнового фронта оптического пучка, а значит, установить положение точных нулей интенсивности, являющихся индикаторами дислокаций, которые невозможно выделить на фоне многочисленных локальных минимумов хаотичного поперечного распределения интенсивности спекл-поля. Объединение таких нулевых точек, соответствующих различным значениям продольной координаты z , позволит восстановить положение нулевых линий, являющихся «скелетом» волнового поля [11].

Работа выполнена при поддержке Института «Открытое общество» (грант А97-1312).

1. Berry M. Singularities in Waves and Rays. Les Houches Summer School. Amsterdam: North-Holland, 1980. P. 453–543.
2. Бобров Б. Д. // Квантовая электроника. 1991. Т. 18. N 7. С. 886–890.
3. Soskin M. S., Vasnetsov M. V., Basistiy I. V. // Proc. SPIE. 1995. V. 2647. P. 57–62.
4. Воронцов М. А., Корябин А. В., Шмальгаузен В. И. Управляемые оптические системы. М.: Наука, 1998. 272 с.
5. Brambilla M., Battipede F., Lugiato L. A., Penna V., Prati F., Tamm C., and Weiss C. O. // Physical Review A. 1991. V. 43. N 9. P. 5090–5113.
6. Ананьев Ю. А. Оптические резонаторы и проблема расходимости лазерного излучения. М.: Наука, 1979. 328 с.
7. Аксенов В. П., Банах В. А., Тихомирова О. В. // Оптика атмосферы и океана. 1996. Т. 9. N 12. С. 1450–1455.
8. Богатуров А. Н. // Изв. вузов. Физика. 1985. Т. 28. N 11. С. 86–95.
9. Лукин В. П., Фортес Б. В. // Оптика атмосферы и океана. 1995. Т. 8. N 3. С. 435–447.
10. Корн Г., Корн Т. Справочник по математике. М.: Наука. 1968. 720 с.
11. Журавлев В. А., Кобозев И. К., Кравцов Ю. А. // ЖЭТФ 1992. Т. 102. Вып. 2(8). С. 483–494.

Институт оптики атмосферы СО РАН,
Томск

Поступила в редакцию
26 августа 1997 г.

V. P. Aksenov, V. A. Banakh, and O. V. Tikhomirova. **Vizualization of Wavefront Dislocations of Optical Speckle-fields**

Feasibility of noninterferometric techniques of the phase distribution measurement in the laser beam cross-section for visualization of the vortex dislocations of optical speckle-field wavefronts are analyzed. It has been established that the diffraction Hartman sensor and wavefront sensor based on measurement of intensity in the beam cross-section allow the positions of the dislocations centers to be obtained and spatial configuration of the intensity zero-lines to be retrieved.